

III-203 斜面地盤を対象とした基礎の支持力について

鳥取大学工学部 正員 ○ 勝見 雅
 鳥取大学工学部 正員 稲村 尚
 センターランカウント 森 伸伴

1. 緒言

著者の1人は水平地盤上の基礎の支持力に関してすでに何回か発表を行なってきている。そこで今回は斜面地盤上に構造物を築造する場合を想定し、Terzaghi の支持力公式を斜面地盤に適用拡張した支持力算定式を導き、しかるのち模型地盤による支持力実験を行い、上記算定式による計算結果との比較検討などを試みるので、それについて記述する。

2. 斜面地盤に対する支持力公式の誘導¹⁾

斜面地盤上にある基礎の極限支持力時にあけるすべり面の概形を図-1のように考える。この場合、同図において基礎中心線より左側、すなわち斜面下の部分が極限支持力を求めるに際し対象とすべき領域と考えられる。しかばね領域IとIIの境界面BCを擁壁面と考え、裏込め土重量に相当する受動土圧を Q_p 、すべり面に作用する粘着抵抗と押しあげ荷重に基づく合成受動土圧を Q_{fc} 、BC面上に作用する付着力を $C_a (= c \cdot BC)$ とすれば、極限支持力 Q_d は△OBCに関するモーメントのつまり次式で書ける。

$$Q_d = 2(Q_p + Q_{fc}) + c \overline{BC} (\tan \phi + \tan i) - \frac{\gamma'_2 B^2}{4} (\tan \phi + \tan i) \quad (1)$$

ここで、 i : 斜面地盤面の傾斜角、 B : 基礎の幅、 ϕ , γ' : それをもつて土の内部摩擦角、
単位体積重量を表わし、 Q_p , Q_{fc} に関してはつきのようにして求める。

まず Q_p を求める。図-2に示すように \overline{DB} 上または \overline{DB} の延長線上に極しあともつ対数らせん線をすべり面 \overline{CD} の近似形状とする。このとき同図に示す力、すなわち裏込め土重量に相当する受動土圧 Q_p 、 $\triangle LCD$ に相当する自重 W_1 、 $\triangle BDE$ に相当する自重 W_2 、 $\triangle LBC$ に相当する自重 W_3 、 \overline{ED} 面上のランキン受動土圧 P_p およびすべり面上の摩擦反力 P_f が土塊 $BCDEF$ に働いており、これらの力の極しあとに及ぶモーメントのつまり関係から導いた式(2)を用いて Q_p を求めることができる。実際には極しあを \overline{DB} 上で色々動かして求めた Q_p の最小値が求める Q_p である。

$$Q_p = \frac{\triangle LCD \cdot l_{ll} + \triangle BDE \cdot l_{lt} - \triangle LBC \cdot l'_{ll} + \frac{D E^2}{2} \cdot K_p \cdot l_{lp}}{\left\{ \frac{B}{3} - L B \cos \left(\frac{\pi}{4} - \frac{\phi}{2} + i \right) \right\}} \cdot \gamma'_2 \quad (2)$$

ここで、 l_{ll} , l_{lt} , l'_{ll} : 極しあをもつて W_1 , W_2 , W_3 の作用線までの水平距離、 l_{lp} : 極しあを P_p の作用線までの垂直距離。

ついで Q_{fc} を求める。この場合は図-3に示すように抵抗力として BE 上にRankine状態に関するせん断抵抗応力 p_e と粘着力 c が作用する。すなわち、

$$p_e = c + \frac{(p_e + \gamma'_1 D_f) \cos \phi}{1 - \sin \phi} \quad (3)$$

i : 対数らせん線の幾何学的性質を用い、点Bのまわりのモーメントのつまりより $W = 3\pi/4 - \phi/2 - i$ として Q_{fc} は次式で得られる。

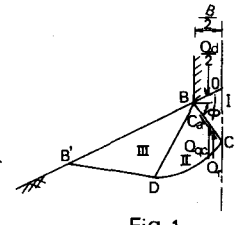


Fig. 1

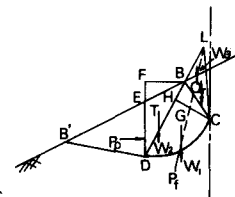


Fig. 2

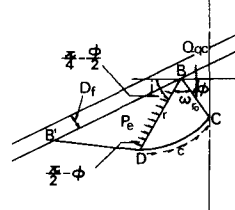


Fig. 3

$$Q_{fc} = \frac{CB}{2\sin\phi \cdot \cos\phi} \left\{ (1 + \sin\phi) \exp(2w \tan\phi) - 1 \right\} + \frac{Y_1 D_f B}{2(1 - \sin\phi)} \cdot \exp(2w \tan\phi) \quad (4)$$

よって、斜面地盤を対象として全般せん断破壊の場合の支持力係数 sN_c, sN_r, sN_g は式(2), 式(4)を式(1)に代入して整理することによりつきの式(5)で表わされ、

$$\left. \begin{aligned} sN_c &= \frac{1}{\sin\phi \cdot \cos\phi} \left\{ (1 + \sin\phi) \exp(2w \tan\phi) - 1 \right\} + \tan\phi + \tan i \\ sN_r &= \frac{2}{B^2} \left\{ 2 \cdot \frac{Q_r}{r_2} - \frac{B^2}{4} (\tan\phi + \tan i) \right\}, \quad sN_g = \frac{1}{1 - \sin\phi} \exp(2w \tan\phi) \end{aligned} \right\} \quad (5)$$

極限支持力は α, β を基礎の形状係数として次式より算出することができる。

$$q_d (\equiv \frac{Q_d}{B}) = \alpha C \cdot sN_c + \beta \frac{Y_2 B}{2} \cdot sN_r + Y_1 D_f \cdot sN_g \quad (6)$$

一方、局所せん断破壊に対しては、Terzaghi と同様に $C \rightarrow (2/3)C, \tan\phi \rightarrow (2/3)\tan\phi$ とし、 $\tan\theta = (2/3)\tan\phi$ から決定される θ に対して式(5)を用い、じゅうのう式(6)より局所せん断破壊の場合の極限支持力を算出することができるよう。

3. 模型実験の概要

実験に使用した試料は最大粒径 $D_{max} = 2.0 \text{ mm}$, 比重 $G_s \approx 2.67$, 均等係数 $C_u \approx 1.7$ なる鳥取砂丘砂を自然乾燥させ、図-4に示すような鋼製土槽に1層5cmでこれを乾燥密度 $\gamma_d \approx 1.62 \text{ g/cm}^3$ にするように工槽側面を木づらでこじくことにより締め固めにもどり、市販の粘土9号（日本フェローK.K.製、比重 $G_s = 2.68$, 疲屈限界 $WL = 116\%$, 塑性限界 41.2%）を細かく粉碎し、含水比 $W = 30\%$ にするように水を加え、ソイルミキサーで練り混ぜたものを1層10cmでこれ1層目から所定の傾斜角 $i = 0^\circ, 10^\circ, 20^\circ, 30^\circ$ をつけながら湿润密度 $\gamma_w \approx 1.56 \text{ g/cm}^3$ にするように特殊ランマードで締め固めたもの、計2種を模型地盤に供した。載荷貫入棒としては直徑 $d = 100 \text{ mm}$ の鋼製円柱の先端に所定の傾斜角をつけたものを作製し、使用した。この際の上載荷重の検出には荷重变换器を用い、次下量は上記貫入棒に取りつけたダイヤルゲージで読みとった。また載荷法は、砂地盤に対して応力制御法とひずみ制御法の2方法を、粘土地盤においてはひずみ制御法を採用した。

4. 実験結果とその考察

図-5は載荷実験より得られた極限支持力 q_d と斜面地盤の傾斜角 i との関係を図示したものである。これらの実験結果を2.で説明してきた算定式による計算結果と比較検討するために、模型地盤の粘着力 C と内摩擦角 ϕ 中を三軸圧縮試験より求めた結果砂地盤で $C = 0, \phi = 36.3^\circ$, 粘土地盤: $C = 0.44 \text{ kg/cm}^2, \phi = 15.7^\circ$ が得られた。そこでこれらの値を用い、さらに形状係数 $\alpha = 1.3, \beta = 0.6$ とし円形基礎の場合の計算結果をも同図に示した。図-5によると実験曲線が計算値の全般せん断破壊と局所せん断破壊との間に位置しているが、傾斜角が小さい場合は全般せん断破壊の値に、傾斜角が大きくなるにつれて局所せん断破壊の計算値に近づく傾向が認められる。

1) 山口柏樹: 土と基礎実用数式・図表の解説、土質基礎工学ライナーリー、第7章、土質工学会、昭48.9.、pp.179~184

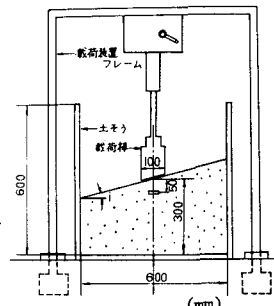


Fig. 4 模型実験装置の略図

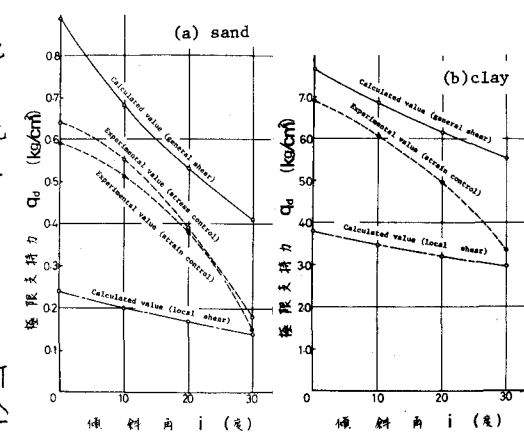


Fig. 5 q_d-i 曲線